

УДК 539.188+541.124/128+541.183.2

## КРИТИЧЕСКАЯ ЭНЕРГИЯ ПРИЛИПАНИЯ И КОЭФФИЦИЕНТ ПРИЛИПАНИЯ В МНОГОФОНОННОЙ ТЕОРИИ АДСОРБЦИИ

*К. В. Шайтан*

Получены простые формулы для коэффициента прилипания и для критической энергии прилипания. Расчеты по этим формулам находятся в хорошем согласии с имеющимся экспериментом и согласуются с результатами численных расчетов динамики адсорбции по классической механике.

В [1] нами была получена формула для вероятности адсорбции атома с энергией  $E$ , налетающего на поверхность простой кристаллической решетки под углом  $\theta$  к нормали.

Важной величиной для сравнения полученного результата с результатами численных расчетов динамики адсорбции, проведенных на основе классической механики, является средняя критическая энергия прилипания  $\bar{E}_c$ , которая является аналогом критической энергии прилипания в классической механике [2, 3] (т. е. такой максимальной кинетической энергии налетающего атома, выше которой адсорбция не происходит). Очевидно, что критическая энергия прилипания для  $n$ -фононного процесса есть  $n\varepsilon_D$  (где  $\varepsilon_D = \hbar\omega_D$ ,  $\omega_D$  — максимальная частота фона). Следовательно, для средней критической энергии прилипания можно написать оценку (угол  $\theta$  здесь полагаем равным 0, так как ниже будет проводиться сравнение этой формулы с расчетами одномерных моделей [2, 3])

$$\bar{E}_c \sim \frac{\varepsilon_D \sum_{n=0}^{\infty} P(n\varepsilon_D) (1+n)}{\frac{1}{1+3A} + \sum_{n=0}^{\infty} P(n\varepsilon_D)} = \frac{3\varepsilon_D A (1+A)^2}{1+3A (1+A)} \quad (1)$$

( $1/(1+3A)$  — вероятность отражения при нулевой энергии). Величина  $A$  задается формулой (30) ([1]). В важном для дальнейшего анализа случае  $A \gg 1$  формула (1) принимает вид

$$\bar{E}_c \sim \varepsilon_D A = 40D \left( \frac{\omega_D}{\omega_0} \right)^2 \frac{m}{M} \exp(-2\omega_D/\omega_0). \quad (2)$$

Из формулы (2) видно, что значение  $\bar{E}_c$  максимально при заданных значениях  $D$  и  $m/M$ , если выполнено условие «резонанса»:  $\omega_0 = \omega_D$ . Величина  $\bar{E}_c$  при этом составляет  $\sim 4mD/M$ . Интересно отметить, что при рассматриваемых энергиях ( $E \ll D$ ) [1] и при  $m \ll M$  это значение практически совпадает с величиной передачи энергии при парном упругом соударении.

Формула (2) допускает непосредственное сравнение с численным расчетом [3], где получена критическая энергия прилипания в единицах энергии адсорбционного взаимодействия  $D$  при  $m/M = 0,1$  и  $m/M = 0,5$ . Взаимодействие налетающего атома с концом цепочки в расчете [3] аппроксими-

ровалось потенциалом Леннард – Джонса с параметрами энергии  $D$  и длины  $\sigma_1$ . Постоянная решетки (цепочки)  $a$  приравнивалась к  $\sigma_1$ . Расчет производили при значении параметра  $\alpha_1 = 10^{-2}$

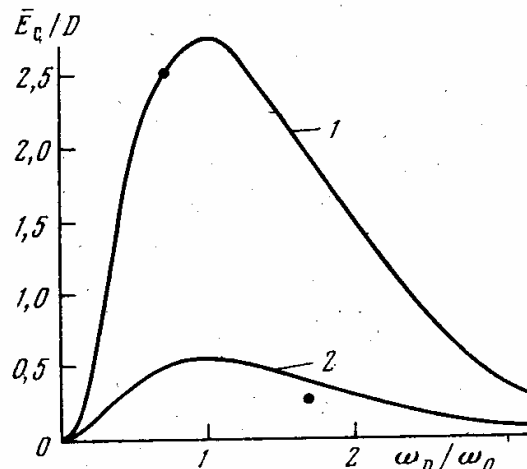
$$\alpha_1 = D/\kappa_L \sigma_1^2 \sim 10^{-2}, \quad (3)$$

где  $\kappa_L$  – силовая постоянная для решеточных осцилляторов. Легко показать \*, что выражение для параметра  $\alpha_1$  при  $a=\sigma_1$  принимает вид

$$\alpha_1 \sim 0,035 \frac{m}{M} \frac{\omega_0^2}{\omega_D^2}. \quad (3')$$

С помощью соотношения (3') можно провести сравнение значений  $\bar{E}_c/D$ , задаваемых формулой (2), со значениями критической энергии, рассчи-

Рис. 1. Зависимость средней критической энергии прилипания от отношения частот  $\omega_D/\omega_0$ . Значения  $m/M$ : 1 – 0,5; 2 – 0,1; точки – результаты численного расчета по классической механике [3]



танными в [3] (рис. 1). Из рис. 1 видно хорошее согласие формулы (2) с численным расчетом [3].

В работе [2] в качестве потенциала взаимодействия налетающего атома с концевым атомом цепочки использовался потенциал обрезанного гармонического осциллятора. Причем отключающее расстояние для адсорбционного осциллятора принималось равным отключающему расстоянию для потенциала обрезанного гармонического осциллятора, которым моделировалось взаимодействие атомов решетки (цепочки). Авторы [2] при помощи классической механики численно рассчитали зависимость критической энергии прилипания  $Q_L$  в единицах теплоты сублимации цепочки от отношения силовых постоянных адсорбционного и внутрирешеточного осцилляторов  $\beta$  (рис. 2, а).

Чтобы сравнить формулу (2) с этими данными предположим, что взаимодействие атомов решетки описывается потенциалом Морзе с параметрами  $Q_L$  и  $k_L$  (где  $Q_L$  – теплота сублимации, а  $k_L$  – постоянная, имеющая размерность обратной длины). Выражая  $\omega_D$  через  $Q_L$ ,  $k_L$  и  $M$ , перепишем выражение для  $A$  в виде

$$A = 40 \frac{Q_L}{\kappa_L} \left( \frac{m}{M} \right)^2 \left( \frac{k}{k_L} \right)^2 \exp \left[ -2 \frac{k}{k_L} \left( \frac{m}{M} \right)^{1/2} / \beta_0^{1/2} \right], \quad (4)$$

где

$$\beta_0 = D/Q_L. \quad (5)$$

Можно показать, что условие равенства отключающих расстояний, использованное в [2], в данном случае эквивалентно условию  $k=k_L$ . С другой стороны, при  $k=k_L$  отношение силовых постоянных равно  $\beta_0$ . То же справедливо и при равенстве отключающих расстояний в модели [2]. (Однако это обстоятельство не использовалось авторами [2], что не позволило им провести более детального сравнения расчета с экспериментом.)

\* Взаимодействие атомов цепочки нужно аппроксимировать потенциалом Леннард – Джонса и, разложив этот потенциал в ряд Тейлора около положения равновесия, определить постоянную  $\kappa_L$ .

На рис. 2, б приведены зависимости  $\bar{E}_c/Q_L$  от  $\beta_0$  при разных значениях  $m/M$ , рассчитанные по формуле

$$\bar{E}_c/Q_L = 40 \left( \frac{m}{M} \right)^2 \exp \left( -2 \left( \frac{m}{M} \right)^{1/2} / \beta_0^{1/2} \right). \quad (6)$$

Из сравнения рис. 2, а и б видно качественное согласие формулы (6) с расчетом [2].

Несколько заниженное значение  $\bar{E}_c$  на рис. 2, б объясняется, по-видимому, тем, что мы использовали потенциал со значительно более жестким

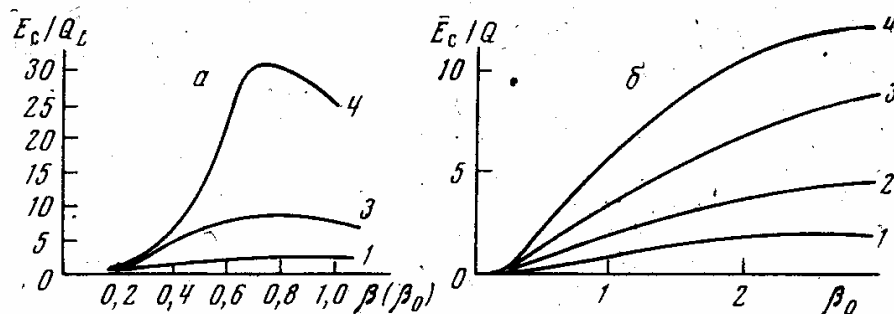


Рис. 2. Средняя критическая энергия прилипания как функция отношения силовых постоянных  $\beta(\beta_0)$ : а – расчет авторов [2], б – расчет по формуле (6). Значения  $m/M$ : 1 – 0,25; 2 – 0,5; 3 – 0,75; 4 – 1

отталкиванием, чем отталкивание в потенциале обрезанного гармонического осциллятора, использованного в [2]. Нежесткость отталкивания приводит к более глубокому проникновению налетающего атома в решетку и, вследствие этого, к более сильному возмущению последней. Здесь уместно также отметить тот факт, что наш расчет лучше согласуется с расчетом [3], где использовался потенциал с жестким отталкиванием.

Максимум на рис. 2, а при  $\beta \sim 1$  не имеет физического смысла, так как, во-первых, находится при таких больших энергиях ( $E_c \sim 300$  эв, так как  $Q_L \sim 10$  эв), когда начинают сказываться процессы, связанные с разрушением решетки и гармоническое приближение при этом совершенно неприемлемо. И, во-вторых, в этой области критическая энергия намного превышает теплоту адсорбции и нет никаких оснований для столь чувствительного поведения  $E_c$  при небольших изменениях  $D$ .

Экспериментальные данные по коэффициентам прилипания атомов к поверхностям простых кристаллических тел, измеренные при хорошо определенных условиях относительно редки и были собраны в [4]. Имеется также небольшое количество данных по коэффициентам прилипания в случае адсорбции газов на стекле [5], на замороженных многоатомных газах [6], и в случае хемосорбции сложных молекул [7]. Изложенная выше теория может быть непосредственно применена к адсорбции атомов или к физической адсорбции молекул на кристаллах, состоящих из одного сорта атомов. Распространение теории на другие случаи требует учета более сложного фононного спектра и возможных процессов диссоциации молекул при хемосорбции. Результаты данной работы неприменимы также к адсорбции атомов на очень тонких пленках ( $\sim 10$  Å) [8], так как при этом возможно влияние отражения фононов от противоположной границы пленки на величину коэффициента прилипания [9].

Коэффициент прилипания определяется как отношение числа атомов, адсорбирующихся в единицу времени на единице поверхности к общему числу ударов о единицу поверхности в единицу времени

$$C = \int_0^{\infty} P(v_{\mu}) v_{\mu} f(v_{\mu}) dv_{\mu} / \int_0^{\infty} v_{\mu} f(v_{\mu}) dv_{\mu}, \quad (7)$$

где  $v_\mu$  — нормальная составляющая скорости атома,  $f(v_\mu)$  — функция распределения атомов по скоростям,  $P(v_\mu)$  — вероятность адсорбции атома за одно соударение с поверхностью. Подставляя в (7) значение  $P(v_\mu)$ , задаваемое формулой (33) [1] и полагая для налетающих атомов максвелловское распределение по скоростям, получим для  $C$  простую формулу

$$C = \frac{3A}{1+3A} \frac{1}{1 + \frac{T}{\theta_D} \ln \left( 1 + \frac{1}{A} \right)}, \quad (8)$$

где  $T$  — температура газа,  $\theta_D$  — характеристическая температура адсорбента. Величина  $A$  определяется по формулам (30) (см. [1]), (2) или (4). Приближенный учет влияния температуры адсорбента  $T$  на поверхность.

Система	$D$ , ккал/моль	$T$ , К	$T_s$ , К	$C$ (опыт)	$C^*$ (расчет)
Cs/W	64	250	300	1	1
Ba/W	85	500	300	1	1
Mg/W	65	300	300	1	1
Ag/Ag	68	1200	320	1	1
Au/Mo	97	1500	300	0,99	1
Ag/Mo	35—44	1000	300	1	1
Zn/Zn	31	720	340	0,96	1
Cd/Cd	27	650	290	1	1
Be/W	86	1000	300	1	0,85
H/W	74	300	77	0,1 **	0,19
		1300	1300	0,3	0,22
Xe/W	9	300	80	0,4	0,63 ***

\* Значения  $C$ , превышающие 0,99 округлялись до 1.

\*\* Данные работы [1].

\*\*\* Авторы [2] получили значение  $C=0,98$ , что подтверждает сделанный выше вывод о том, что использованный ими потенциал приводит к переоценке критической энергии прилипания.

адсорбции достигается при умножении  $A$  на множитель  $[1+1/e^{\theta_D/T_s}-1]$ , учитывающий влияние чисел заполнения фононов на вероятности переходов. (При  $T_s \gg \theta_D$  необходимо также учитывать процессы, связанные с увеличением энергии налетающих атомов за счет поглощения фононов.)

Принимая во внимание невысокую точность измерений [4] и оценочный характер выведенных формул величину  $A$  при сравнении формулы (8) с экспериментом можно вычислять по формуле (4) в предположении  $k=k_L$ . Это условие, по-видимому, не является слишком сильным упрощением, так как сравнение постоянных размерности обратной длины в потенциале Морзе для самых различных молекул показывает, что эти величины не сильно отличаются друг от друга [10], а небольшие отклонения  $k$  от  $k_L$  частично компенсируются в формуле (4). Кроме того, небольшие ошибки при вычислении  $A$  сглаживаются в формуле (8). Введение этого приближения оправдано также и тем, что становится возможным провести сравнение для значительно большего числа систем. Сравнение измеренных [4] и вычисленных по формуле (8) коэффициентов прилипания, приведены в таблице.

Таким образом, учет многофононных процессов, обусловленных конечной длительностью взаимодействия налетающего атома с решеткой является весьма важным для правильного понимания и описания элементарного акта адсорбции. Кроме того, рассмотренная приближенная теория акта адсорбции приводит к простой формуле для коэффициента прилипания

ния, согласующейся с экспериментом, а также находится в согласии с результатами численных расчетов динамики адсорбции по классической механике.

Московский государственный университет  
им. М. В. Ломоносова

Поступила  
3.XII.1974

## ЛИТЕРАТУРА

1. *K. B. Шайтан*, Ж. физ. химии, 51, 156, 1977.
2. *B. McCarrol, G. Ehrlich*, J. Chem. Phys., 38, 523, 1963.
3. *B. Б. Леонас*, Прикл. мат. и теорет. физика, 6, 124, 1963.
4. *G. Ehrlich*, British J. Appl. Phys., 15, 349, 1964 (пер. в сб.: Взаимодействие газов с поверхностью, «Мир», М., 1965).
5. *P. A. Redhead, J. P. Hobson, E. V. Kornelsen*, Advan. in Electronics and Electron Physics, 17, p. 323, New York, Acad. Press, 1962.
6. *D. Hollenbach, E. E. Salpeter*, J. Chem. Phys., 53, 79, 1970.
7. *H. B. Черепинин*, Сорбционные явления в вакуумной технике, «Сов. радио», М., 1973.
8. *K. Л. Чопра*, Электрические явления в тонких пленках, «Мир», М., 1972.
9. *B. McCarrol*, J. Chem. Phys., 39, 1317, 1963.
10. *Г. Герцберг*, Спектры и строение двухатомных молекул, Изд-во иностр. лит., М., 1949.
11. *T. W. Hickmott*, J. Chem. Phys., 32, 810, 1960.